

北海道大学工学部 正景 北郷 繁
 " " ○ 土岐 桂介
 " " 鎌田 彰

[1] まえがき：砂の力学的性質が、以前に受けた応力によって著しく異なるという報告はりたくない。⁽¹⁾ 応力状態の変化にともない粒子の再配列が生じ、それが異方性や硬化をもたらすからである。しかし、動的応力の繰返し載荷を受け液状化が発生した供試体では、大きな応力を受けても硬化はどの方向にも生じないばかりか、*Finn* らの言うように粒子配列が極めて不安定な構造となつていると考えられる。この研究は、非排水条件のもとで繰返し応力を載荷することによって、飽和砂の非排水強度がどのような影響を受けるかを調べたものである。

[2] 実験方法：実験は動的繰返し応力の載荷と、それに引続いて行なう静的センサ断面試験からなる。まず初期間ゲキ比 $e_0 = 0.78$ の供試体の軸方向および半径方向に、 180° の位相差で種々の大きさの動的応力を所定の液状化の状態にいたるまで載荷する。動荷重の大きさは、静的非排水強度 22.0 kN/cm^2 に対し、 $0.3 \sim 1.3 \text{ kN/cm}^2$ であった。動的応力は、以下の液状化の状態にいたるまで載荷した。(1) 液状化発生に到らない状態、(2) 間ゲキ水圧が拘束圧 σ_{es} に等しくなり、初期液状化が起った状態、(3) 完全な液状化が生じ変形が増大した状態。以上の載荷は振動三軸圧縮試験機によつた。また、大きな変形を供試体にあたえるため、(4) 静的に圧縮および伸長ヒズミを繰返し加えて液状化をおこす試験を行なつた。所定の繰返し応力を載荷後、 $\sigma_c = 1.5 \text{ kN/cm}^2$ の等方圧で圧密を行なう。このような応力履歴を経た上記(1)～(4)の供試体を、以下においてそれぞれ、NL、PL、L、およびSV-供試体と呼ぶ。なお、繰返し載荷中に生じた動的軸ヒズミは、NL-供試体 0.03% 以下、PL-供試体 $0.03 \sim 0.5\%$ 、L-供試体 $1.0 \sim 1.5\%$ 、SV-供試体 $1 \sim 6\%$ であった。次に有効拘束圧 1.5 kN/cm^2 のもとで、これらの供試体の静的非排水三軸圧縮試験を行なつた。なお、前段の繰返し応力の載荷過程および後段の静的センサ断面試験の過程において、それぞれ 3.0 kN/cm^2 および 8.0 kN/cm^2 のバックプレッシャーを加えた。試料は豊浦砂である。

[3] 実験結果と考察：図-1は、NL、PL、L、およびSV-供試体の静的非排水試験における ϕ を示したものである。 ϕ は $(\%)_{\text{max}}$ の条件から計算し、それを繰返し応力載荷後再圧密した後の間ゲキ比 e_c に対してプロットしてある。図中の S-line は、比較のため処女供試体の e_c と中の関 40°

係を示したものである。繰返し載荷後の間ゲキ比が、 e_c

(0.78) に比べて著しく減少しているにも拘らず、 ϕ は e_c

が e_c と同じ処女供試体のそれと同じである。一般に以前

に応力を受けた砂では、間ゲキ比が同じ処女供試体より

強度が大きいのが普通であるが、この図にその傾向は見

られない。すなわち、液状化あるいはそれに近い状態に

達した後再圧密した砂の強度は、 ϕ がみるかぎり間ゲキ

比が同じ処女供試体のそれと同じで、いわゆる硬化や強度低下は生じ

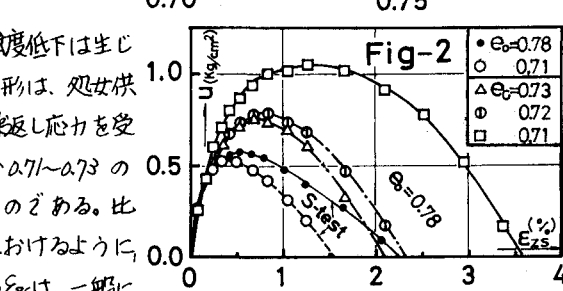
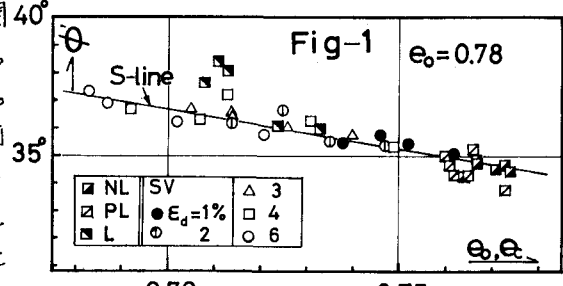
ていない。しかし静的試験の応力ヒズミ曲線の初期の形は、処女供

試験体とかなり違つた傾向を示す。この原因は、以前に繰返し応力を受

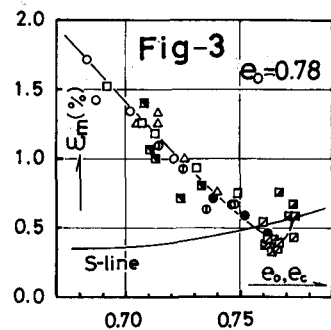
けた砂に生じる間ゲキ水圧の特性にある。図-2は、 e_c が $0.71 \sim 0.73$ の

L-供試体の軸ヒズミ E_{es} と間ゲキ水圧 σ_{es} の関係を示したものである。比

較のために示した、 e_c が 0.78 および 0.71 の処女供試体におけるように、



間ゲキ比が大きいほど大きい。しかしこの図に示す供試体では、 e_c が小さいほど高い間ゲキ水圧が発生し、最大の間ゲキ水圧が発生する ε_{es} も大きい。この ε_{es} を ε_m とすると、図-3に示すように繰返し応力を受けた供試体の ε_m は、間ゲキ比が同じ処女供試体のそれよりも一般に大きい。この傾向は、繰返し載荷のさい生じた変形が大きいほど著しい。結果は示していないが、 ε_m における間ゲキ水圧の大きさをA値で比較すると、処女供試体では e_c が0.80～0.65のあたりで0.50～0.65に変化するのに対し、動的繰返し応力を受けた供試体のそれは e_c の低下とともに増大し、 $e_c=0.78$ では約1.0、 $e_c=0.69$ では約2.5にも及ぶ。



処女供試体にくらべA値と ε_m が大きいというこの関20.0

係から、液状化を起した砂では、たとえ再圧密後間ゲキ比が減少しても、その非排水強度は低下しないといえる。この傾向を示したのが図-4²、静的試験の軸比 ε_{es} と $\varepsilon_{es}=1.0\%, 3\% \text{ および } 5\%$ における軸差応力($\sigma_{ls} - \sigma_{ss}$)を e_c に対しプロットしてある。また比較のために、図中に処女供試体の($\sigma_{ls} - \sigma_{ss}$)を e_c に対しプロットした。この図で特徴的なことは、 e_c が e_0 (0.78)にくらべてほとんど違わない場合、それぞれの ε_{es} における動員強度は e_c と同じ e_0 の処女供試体のそれと同じかやや大きい。しかし、 e_c が小さい場合のそれは、処女供試体よりかなり小さい。これをさらに詳細にみると、各 ε_{es} におけるNL-供試体の強度は処女供試体とほぼ同じで、PL-供試体の強度は、処女供試体よりやや大きい。しかし、L-供試体、およびSL-供試体の動員強度は、 e_c の低下とともに急速に減少している。ただしこの傾向は、 ε_{es} が大きくなるにつれて次第に弱まり、($\sigma_{ls} - \sigma_{ss}$)_{max}が生じる附近($\varepsilon_{es}=8\sim15\%$)では、繰返し載荷の影響はみとめられなくなる。すなわち、完全な液状化発生に到らない場合は、繰返し応力の載荷によって硬化が生じ得るが、液状化が発生した砂においては生得的な粒子配列の構造すら破壊される。このような供試体において、間ゲキ水圧の発生は図-2および図-3のような変化を示すため、変形が比較的小さなところにおける強度は処女供試体より小さい。液状化を起した飽和砂のこのような強度特性のため静的排水強度の1/2の強度を動員したさいの変形は、処女供試体のそれに比べ $e_c=0.75$ では約2倍、 $e_c=0.70$ では約9倍に達した。

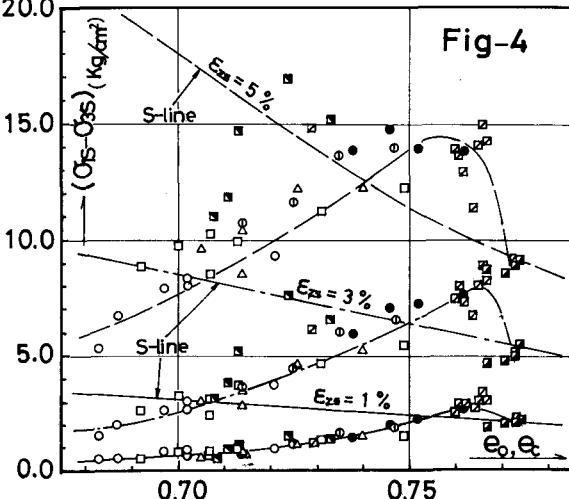


Fig-4

[4] むすび 動的繰返し応力を受け液状化を起こした飽和砂の非排水強度($\sigma_{ls} - \sigma_{ss}$)_{max}は、処女供試体と変りない。しかし、応力が増加して粒子の再配列が起こるとき、処女供試体に比べて高い間ゲキ水圧が大きな変形にいたるまで生じるため、同じ大きさの変形における応力は、処女供試体よりも小さい。本実験は、液状化後等方圧密状態から静的三軸圧縮試験を行なったので、応力状態は實際の地盤内に於けるのと必ずしも一致していない。しかし、飽和した砂のこのような特性は、基礎の設計にあたって留意する必要がある。

[5] 謝 辞 この研究の実施において、実験および資料の整理は片岡博技官および昭和50年卒業生、藤森一男君に負うところが大きい。またこの研究は、昭和49年度文部省科学研究費の補助を受けて行なった。記して謝意を表する。

[6] 参考文献 1) Oda, M. (1972) "The Mechanism of Plastic ~" JSSMPE, Vol.12, No.2 2) 土岐祥洋・北郷繁(1974).「応力履歴により作られた砂のかみ」、土木学会第29回年次講演会, 3) Finn, W.D., et al (1970), "Effect of Strain History on ~" ASCE, Vol.89, No. SM.1 4) 土岐祥洋・北郷繁(1973), 「繰返し応力を受ける乾燥砂のかみ」、土質工学会論文報告集, Vol.13, No.3